การผลิตเซลล์บอร์เดอร์ของรากข้าวจาปอนิกา (*Oryza sativa* ssp. *japonica*) Production of Root Border Cells in Japonica Rice (*Oryza sativa* ssp. *japonica*)

จรรยา แปลกทิ้ง¹* อัญชลี ใจดี¹ และกนกวรรณ เสรีภาพ¹ Janya Plaktink¹*, Anchalee Chaidee¹ and Kanogwan Seraypheap¹

Received: October 19, 2023 Revised: January 10, 2024 Accepted: January 16, 2024

Abstract: Root border cells (RBCs) function in secreting substances to protect root tip and promote plant growth. RBCs inevitably differ between plant species. Due to the high genetic variability of rice, it is promising to study RBCs of *Oryza sativa* ssp. *japonica* to compare with rice ssp. *indica*, previously reported about roles of RBCs in salt tolerance. Thus, seeds were germinated under sterile conditions to gain seedlings with different root lengths. RBC suspension was prepared by washing the root tip with distilled water, and RBC numbers were counted under microscopy. The results showed that the roots at 0.5 cm long produced high number of RBCs (3,813±750 cells). The number remained at a high level in the root length range of 0.3–3.2 centimeters and tended to reduce when the roots were longer. RBCs were grouped into three types based on shape. Compared to rice ssp. *indica*, the RBCs of rice ssp. *japonica* were much smaller, and the mucilage layer was distinctly thinner. In total, genotypic differences have an impact on RBCs, and this supports the criterion of using RBCs to explore cellular mechanistic responses to environmental stimuli.

Keywords: rice, root border cells, mucilage

บทคัดย่อ: เซลล์บอร์เดอร์ของราก (root border cells, RBCs) เป็นเซลล์ที่ทำหน้าที่หลั่งสารที่ช่วยปกป้องปลาย รากและส่งเสริมการเจริญเติบโตของพืช การผลิต RBCs มีความแตกต่างกันในพืชแต่ละชนิด เนื่องจากข้าวเป็น พืชอาหารที่มี ความหลากหลายทางพันธุกรรมมาก จึงน่าสนใจที่จะศึกษา RBCs ในข้าว Oryza sativa ssp. japonica เพื่อเปรียบเทียบกับข้าว ssp. indica ที่มีการรายงานก่อนหน้านี้เกี่ยวกับบทบาทของ RBCs ในการ ทนเค็ม ทำการศึกษาโดยเพาะเมล็ดในสภาวะปลอดเชื้อจนได้รากที่มีความยาวต่างๆ กัน นำมาเตรียมเซลล์ แขวนลอย RBCs ด้วยการชะปลายรากในน้ำกลั่น จากการนับเซลล์ภายใต้กล้องจุลทรรศน์ พบว่า มีการผลิต RBCs มาก (3,813±750 เซลล์) ตั้งแต่เมื่อรากมีความยาว 0.5 เซนติเมตร จำนวน RBCs คงระดับในปริมาณมาก ในช่วงความยาวราก 0.3–3.2 เซนติเมตร และมีแนวโน้มลดลงเมื่อรากมีความยาวเพิ่มขึ้น การจำแนกกลุ่มของ RBCs ตามสัดส่วนได้เป็น 3 กลุ่ม จากการเปรียบเทียบกับข้าว ssp. indica พบว่า RBCs ของข้าว ssp. japonica มีขนาดเล็กกว่าและมีความหนาของขั้นสารเมือกบางกว่าอย่างชัดเจน ผลการศึกษาทำให้เห็นถึงปัจจัยด้าน

¹ศูนย์เชี่ยวชาญเฉพาะทางด้านสิ่งแวดล้อมและสรีรวิทยาของพืช ภาควิชาพฤกษศาสตร์ คณะวิทยาศาสตร์ จุฬาลงกรณ์มหาวิทยาลัย กรุงเทพฯ 10330

¹ Center of Excellence in Environment and Plant Physiology, Department of Botany, Faculty of Science, Chulalongkorn University, Bangkok, 10330, Thailand

^{*} Corresponding author: ukleemaleema@gmail.com

ความแตกต่างทางพันธุกรรมที่มีต่อลักษณะของ RBCs ในข้าว ซึ่งสนับสนุนแนวทางในการใช้ RBCs เป็น เครื่องมือศึกษากลไกการตอบสนองระดับเซลล์ต่อสัญญาณสิ่งแวดล้อมต่างๆ

คำสำคัญ: ข้าว, เซลล์บอร์เดอร์ของราก, สารเมือก

คำนำ

เซลล์บอร์เดอร์ของราก (root border cells; RBCs) เป็นเซลล์ที่ปกคลุมอยู่บริเวณด้านนอกสุด ของปลายราก โดยเจริญมาจากเนื้อเยื่อเจริญหมวก ราก เมื่อ RBCs เจริญจนถึงระยะที่เหมาะสมจะผลัด ออกจากปลายรากและแยกตัวออกจากกันเป็นเซลล์ เดี่ยวที่ยังคงมีชีวิต เพื่อทำหน้าที่ในการหลั่งสารสำคัญ หลายชนิดออกสู่สิ่งแวดล้อมรอบปลายราก (Yu et al., 2006) สารเมือกและสารชนิดอื่นๆ ที่หลั่งจาก RBCs มีบทบาทสำคัญในการลดแรงเสียดทานขณะที่ราก เจริญแทรกผ่านดิน (Nagayama et al., 2019) รวมทั้งมีบทบาทในด้านการดึงดูดจุลินทรีย์ที่มี ประโยชน์และลดความเป็นพิษจากโลหะหนัก (Cai et al., 2011a,b) พืชแต่ละชนิดมีการผลิต RBCs ในปริมาณที่แตกต่างกัน พืชที่มีจำนวน RBCs มาก ได้แก่ พืชตระกูลถั่วและฝ้าย ในขณะที่ Arabidopsis ไม่สร้าง RBCs (Hamamoto et al., 2006) สำหรับ พืชใบเลี้ยงเดี่ยวมีการสร้าง RBCs เช่นกัน แต่ยังคงมี รายงานการศึกษาเพียงไม่กี่ชนิด เช่น ข้าวโพด กล้วย และข้าว (Wuyts et al., 2006; Yan et al., 2014; Ninmanont *et al.*, 2021, 2023) นอกจากความ แตกต่างอันเนื่องมาจากพันธุกรรมแล้ว ปัจจัย สิ่งแวดล้อมที่แตกต่างกันมีผลต่อจำนวน RBCs ที่พืชสร้างขึ้นด้วย

ข้าว (Oryza sativa L.) เป็นพืชเศรษฐกิจ ที่สำคัญ สามารถนำมาบริโภค และแปรรูป ข้าวมี การจัดกลุ่มเป็น 2 กลุ่มหลัก (subspecies, ssp.) ได้แก่ indica และ japonica ซึ่งในแต่ละกลุ่มนั้นมี ความหลากหลายของสายพันธุ์ (Sweeney and McCouch, 2007) นอกจากนั้นข้าวเป็นพืชใบเลี้ยง เดี่ยวที่มีขนาดเล็ก จึงเป็นพืชที่น่าสนใจที่จะใช้ใน การศึกษาการสร้าง RBCs เพื่อให้มีความเข้าใจเกี่ยว กับหน้าที่ของ RBCs ในพืชใบเลี้ยงเดี่ยวได้ดียิ่งขึ้น

(Ninmanont et al., 2021) รายงานถึงความสัมพันธ์ ระหว่าง RBCs กับความสามารถในการทนเค็มของ ข้าว ตลอดจนได้รายงานถึงรูปร่างและขนาดของ RBCs ที่มีความแตกต่างกันโดยขึ้นกับระยะการ เจริญของราก (Ninmanont et al., 2023) ซึ่งรายงาน ดังกล่าวศึกษาในข้าว ssp. indica พบว่า Pokkali ที่เป็นสายพันธุ์ทนเค็มมาตรฐานมีปริมาณ RBCs มากและไม่แตกต่างกันในช่วงความยาวราก 1-4 เซนติเมตร อีกทั้งเมื่อได้รับสภาวะเค็มพบว่าต้นกล้า สามารถเจริญเติบโตมีความยาวรากเพิ่มขึ้นโดยที่ มีปริมาณ RBCs และสารเมือกคงเดิม ในขณะที่ สายพันธุ์ที่อ่อนแอต่อสภาวะเค็ม IR29 มีความหนา ของชั้นสารเมือกที่ลดลงเมื่อได้รับสภาวะเค็มที่ระดับ เดียวกัน (Ninmanont et al., 2021) สำหรับงานวิจัย นี้มีจุดประสงค์เพื่อศึกษาการสร้าง RBCs ของข้าว ssp. japonica cv. Nipponbare ซึ่งเป็นข้าวที่นิยม ปลูกในเขตอบอุ่น ซึ่งจะได้นำผลการศึกษาไปวิเคราะห์ เปรียบเทียบกับงานที่มีมาก่อนในข้าว ssp. indica ที่ ปลูกในเขตร้อน

อุปกรณ์และวิธีการ พืชที่ใช้ในการทดลอง

เมล็ดพันธุ์ข้าว (*Oryza sativa* ssp. japonica cv. Nipponbare) ที่ได้จากการปลูกเพื่อ เก็บเมล็ดพันธุ์ที่โรงเรือนภาควิชาพฤกษศาสตร์ คณะ วิทยาศาสตร์ จุฬาลงกรณ์มหาวิทยาลัย

การศึกษาจำนวน RBCs ที่ปกคลุมปลายรากที่มี ความยาวต่างกัน

เตรียมต้นกล้าที่มีความยาวรากที่แตกต่าง กันในสภาวะปลอดเชื้อ โดยฟอกฆ่าเชื้อที่ผิวเมล็ด (Ninmanont et al., 2021) เพาะลงในกล่องเพาะที่ ให้สารละลายธาตุอาหาร ½ strength Hoagland (Hoagland and Arnon, 1950) ด้วยระบบ แอโรพอนิกส์ วางกล่องเพาะเมล็ดในที่มืด อุณหภูมิ 25 องศาเซลเซียส เป็นเวลา 4 วัน (Hamamoto et al., 2006) นับจำนวนเมล็ดงอกในวันที่ 3 และ 4 นำรากปฐมภูมิมาวัดค่าความยาว แล้วจึงเตรียม เซลล์แขวนลอย RBCs โดยการแช่ปลายรากใน น้ำกลั่นและใช้ไมโครปิเปตต์ดูดชะส่วนปลายรากให้ RBCs หลุดออกจนหมด นำเซลล์แขวนลอย RBCs ที่ได้มานับจำนวน RBCs ด้วยฮีโมไซโตมิเตอร์ (hemocytometer) ภายใต้กล้องจุลทรรศน์แบบใช้แสง ทำการทดลองที่ช่วงความยาว 1–5 เซนติเมตร มีจำนวนรากที่ศึกษารวม 29 ราก จำแนกกลุ่มตาม ความยาวรากและคำนวณสัดส่วนของต้นกล้าใน แต่ละกลุ่ม (Ropitaux et al., 2020; Ninmanont et al., 2023)

การศึกษารูปร่างลักษณะของ RBCs

นำเซลล์แขวนลอย RBCs มาย้อมด้วย India ink เข้มข้น 10% เป็นเวลา 10 นาที (Cai et al., 2011a) India ink ไม่สามารถแพร่เข้าสู่สารเมือกได้ จึงแสดง ให้เห็นขอบเขตของสารเมือกที่ล้อมรอบ RBCs และ สามารถวัดความหนาของชั้นสารเมือกได้ บันทึกภาพ ด้วยกล้องถ่ายภาพที่ติดอยู่กับกล้องจุลทรรศน์ จาก นั้นวัดขนาดของเซลล์และความหนาของชั้นสารเมือก ด้วยโปรแกรม ImageJ (Rasband, 1997–2018) เซลล์ แขวนลอย RBCs ที่ใช้ในการศึกษานี้ ได้จากรากที่มี ความยาว 1.0±0.2 เซนติเมตร มีจำนวนเซลล์ที่ศึกษา รวม 9 เซลล์ ค่าเฉลี่ยขนาดของเซลล์และความหนาของชั้นสารเมือกใน RBCs แต่ละแบบ มีจำนวน 3 ซ้ำ การศึกษาความมีชีวิตของ RBCs

ลักษณะของ RBCs ที่มีชีวิตและที่ตายแล้ว แสดงให้เห็นด้วยการย้อมสี phenosafranin เข้มข้น 0.01% และบันทึกภาพภายใต้กล้องจุลทรรศน์ใช้ แสง เซลล์ที่ตายแล้วและมีเยื่อหุ้มเซลล์ที่เสียสภาพ จะติดสีแดง ส่วนเซลล์ที่มีชีวิตจะไม่ติดสีแดงของ phenosafranin (Widholm, 1972; Pan et al., 2001) การศึกษาลักษณะของปลายรากที่ปกคลุมด้วย RBCs และสารเมือก

ลักษณะปลายรากที่ปกคลุมด้วย RBCs และสารเมือกแสดงให้เห็นชัดเจนโดยการย้อมปลาย รากของต้นกล้าที่มีความยาวราก 1.0±0.2 เซนติเมตร ด้วย alcian blue เข้มข้น 0.03% สารเมือกซึ่งมี

mucopolysaccharide เป็นองค์ประกอบหลักจะ ย้อมติดสีฟ้าของ alcian blue (Ghanem *et al.*, 2010)

การวิเคราะห์ทางสถิติ

การวิเคราะห์ความแตกต่างของค่าเฉลี่ย ปริมาณเซลล์ที่ผลิตโดยรากที่ความยาวต่างๆ ตลอด จนขนาดของ RBCs และความหนาของชั้นสารเมือก ใน RBCs แต่ละแบบ ทำโดยวิเคราะห์ความแปรปรวน (Analysis of Variance, ANOVA) และความแตก ต่างของค่าเฉลี่ยด้วยวิธี Duncan's Multiple Range Test (DMRT) และ Dunnett T3 ที่ระดับความเชื่อมั่น 95% โดยใช้โปรแกรม IBM SPSS Statistics 22 (SPSS GmbH Software, Chicago, USA)

ผลการทดลองและวิจารณ์ จำนวน RBCs ที่ผลิตโดยรากความยาวต่างๆ

ในการเตรียมต้นกล้าเพื่อใช้ศึกษาการ สร้าง RBCs โดยการเพาะเมล็ดเป็นเวลา 4 วัน จะได้ ต้นกล้าที่มีความยาวรากปฐมภูมิที่แตกต่างกัน เนื่องจากเมล็ดเกิดการงอกที่ไม่พร้อมกัน ในกลุ่ม ต้นกล้าที่มีความยาวราก 0.3–3.2 เซนติเมตร ซึ่ง คิดเป็นร้อยละ 93 ของจำนวนต้นกล้าทั้งหมด (29 ต้น) มีต้นกล้าที่มีความยาวราก 1.0±0.2 เซนติเมตร ในสัดส่วนที่มากที่สุด (ร้อยละ 38) ต้นกล้า ที่มีความยาวราก 1.5±0.2 และ 2.0±0.2 เซนติเมตร มีสัดส่วนรองลงมา คือ ร้อยละ 17 และ 14 ตามลำดับ (Figure 1) เมื่อนำมาศึกษาการสร้าง RBCs พบว่า ปลายรากของข้าว japonica มีการสร้าง RBCs เป็น จำนวนที่ผันแปรและขึ้นกับความยาวราก (Figure 1) กล่าวคือ รากที่มีความยาว 0.5±0.2 เซนติเมตร มีจำนวน RBCs มากถึง 3,813 เซลล์ ซึ่งมีค่า ใกล้เคียงกับจำนวน RBCs ที่สร้างโดยรากที่ยาว 1.0±0.2. 1.5±0.2 และ 2.0±0.2 เซนติเมตร โดยมี จำนวน RBCs 3,506 3,650 และ 3,578 เซลล์ ตาม ลำดับ ในขณะที่กลุ่มความยาวราก 2.5±0.2 และ 3.0±0.2 เซนติเมตร มีจำนวน RBCs 1,936 และ 3,042 เซลล์ ซึ่งมีแนวใน้มที่ลดลง เมื่อเปรียบเทียบความ แตกต่างของค่าเฉลี่ย พบว่าจำนวน RBCs ที่ผลิต โดยรากที่มีความยาวในช่วง 0.3-3.2 เซนติเมตรนี้ ไม่มีความแตกต่างกันอย่างมีนัยสำคัญทางสถิติ ที่ ระดับความเชื่อมั่น 95% สำหรับรากที่ความยาว 3.5±0.2 และ 5.0±0.2 เซนติเมตร นั้น พบเพียง ร้อยละ 3 (N=1) ซึ่งไม่สามารถใช้ข้อมูลวิเคราะห์ ความแตกต่างระหว่างกลุ่มได้ อย่างไรก็ตาม จะ เห็นได้ว่า รากที่มีความยาว 5.0±0.2 เซนติเมตร มี จำนวน RBCs เพียง 1,250 เซลล์ (Figure 1) แสดงว่า จำนวน RBCs ที่ผลิตจากปลายรากมีความสัมพันธ์กับ ความยาวหรืออายของรากที่เพิ่มขึ้นด้วย เมื่อ เปรียบเทียบกับผลการศึกษาในข้าว ssp. indica (Ninmanont et al., 2023) พบว่ามีรูปแบบที่ คล้ายกัน กล่าวคือ เมื่อรากมีความยาวไม่มากนัก จะมีการสร้าง RBCs เป็นจำนวนมาก โดยข้าว ssp. indica cv. KDML105 ที่ความยาวราก 1.0 เซนติเมตร มีจำนวน RBCs 5,229 เซลล์ ในขณะที่ รากที่ความยาวมากขึ้น (4.0 เซนติเมตร) มี RBCs จำนวนน้อย คือประมาณ 2,367 เซลล์ นอกจากนี้ เมื่อพิจารณารูปแบบการสร้าง RBCs ในภาพรวม (Figure 1) จะเห็นได้ว่า ข้าว ssp. japonica มีจำนวน RBCs ที่มากและไม่แตกต่างกันในช่วงความยาว 0.3-3.2 เซนติเมตร รูปแบบดังกล่าวคล้ายกับข้าว ssp. indica var. Pokkali ซึ่งเป็นสายพันธุ์ทนเค็ม แต่ แตกต่างกับสายพันธุ์ IR29 ซึ่งอ่อนแอต่อสภาวะเค็ม

(Ninmanont et al., 2021) เนื่องจาก RBCs ทำหน้าที่ หลั่งสารเมือกที่ช่วยปกป้องปลายรากจากสภาวะที่ไม่ เหมาะสมต่างๆ การสร้าง RBCs จำนวนมากตั้งแต่ เมื่อรากมีระยะการเจริญแรกเริ่ม (มีความยาวราก 0.5 เซนติเมตร) ตลอดจนการรักษาจำนวน RBCs ให้ มีปริมาณมากในขณะที่รากมีการเจริญเพิ่มมากขึ้น เป็นลักษณะที่มีคุณประโยชน์ต่อพืช (Odell et al.. 2008) ลักษณะดังกล่าวพบในข้าว ssp. indica var. Pokkali (Ninmanont et al., 2021) และในข้าว ssp. japonica cv. Nipponbare ในการศึกษาครั้งนี้

เมื่อพิจารณาความยาวรากที่มีการสร้าง RBCs มากที่สุด พบว่าแตกต่างกันระหว่างข้าว ssp. japonica (0.5 เซนติเมตร) และข้าว ssp. indica (1.0 เซนติเมตร, Ninmanont et al., 2021, 2023) เมื่อเปรียบเทียบกับการศึกษาในพืชชนิดอื่นๆ พบว่า ความยาวรากที่มีการสร้าง RBCs สูงสุดคือ 2.0-2.5 เซนติเมตร (พืชใบเลี้ยงคู่: Qiao et al., 2013; Zhao et al., 2000; พืชใบเลี้ยงเดี่ยว: Cai et al., 2011b; Yan et al., 2014) อย่างไรก็ตาม ความแตกต่างกัน นี้อาจเป็นผลมาจากปัจจัยอื่นๆ นอกเหนือจากปัจจัย ทางพันธุกรรม เช่น สภาวะในการปลูก ตลอดจนธาตุ อาหารที่พืชได้รับ ซึ่งต้องนำมาพิจารณาร่วมด้วย เช่นกัน (Ninmanont et al., 2021)

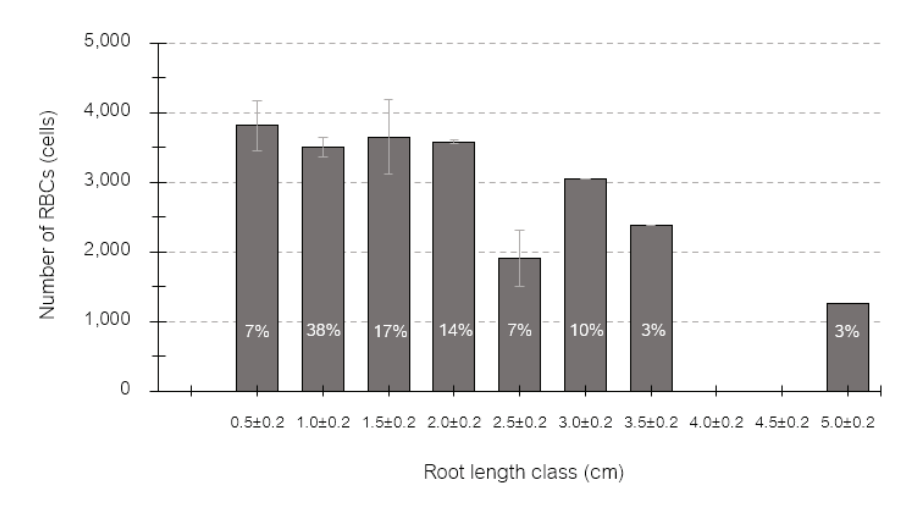


Figure 1 The root length-dependent production of root border cells (RBCs) in *japonica* rice. Means with standard errors. The proportion of root length classes is shown in percent (N=29). There was no significant mean difference among root length classes in the range of 0.3–3.2 centimeters.

ลักษณะของ RBCs และสารเมือกที่ปกคลุมปลาย รากข้าว

ผลการศึกษาแสดงให้เห็นลักษณะของ ปลายรากที่มี RBCs และสารเมือกปกคลุมอยู่ (Figure 2) เมื่อน้ำ RBCs มาวัดความกว้างและ ความยาวของเซลล์ และจำแนกกลุ่มด้วยค่าอัตรา ส่วนความยาวต่อความกว้าง (Ropitaux et al., 2020; Ninmanont et al., 2023) พบว่ารูปร่างของ RBCs มี 3 แบบ ได้แก่ เซลล์ทรงกลม (spherical shape) ซึ่งมีอัตราส่วนความยาวต่อความกว้าง 1.55 ไมโครเมตร (Figure 2b, Table 1) เป็นเซลล์ ที่พบมากบริเวณหมวกราก เซลล์กลุ่มนี้มีความหนา ของสารเมือก 6.11 ไมโครเมตร เซลล์ทรงสี่เหลี่ยม (rectangular shape) มีอัตราส่วนความยาวต่อ ความกว้าง 5.05 ไมโครเมตร (Figure 2c, Table1) พบมากที่บริเวณ zone of division ของราก โดยมี ความหนาของสารเมือก 4.67 ไมโครเมตร และเซลล์ ทรงยาว (elongated shape) ที่มีอัตราส่วนความ ยาวต่อความกว้าง 6.70 ไมโครเมตร (Figure 2d, Table 1) พบมากที่บริเวณ zone of elongation และ zone of differentiation ของราก และมีความหนา ของสารเมือก 1.08 ไมโครเมตร จะเห็นได้ว่ารูปร่าง ของ RBCs นั้นมีลักษณะคล้ายกับเซลล์ในแต่ละ บริเวณของรากมีระยะการเจริญต่างกัน อีกทั้งยัง ส้มพันธ์กับความสามารถในการสร้างสารเมื่อกของ เซลล์ด้วย โดยจะเห็นว่าเซลล์แบบทรงกลมและ ทรงสี่เหลี่ยมซึ่งมีอายุน้อยกว่า มีความหนาของสาร เมือกมากกว่าเซลล์ทรงยาว ผลการศึกษาที่พบว่า RBCs ของข้าว ssp. japonica มีรูปร่างต่างกัน 3 กลุ่มนี้ สอดคล้องกับที่ได้มีการจัดจำแนกในถั่วเหลือง (Ropitaux et al., 2020) และข้าว ssp. indica cv. KDML105 (Ninmanont et al., 2023) อย่างไรก็ตาม ในขณะที่ RBCs ของข้าว indica และถั่วเหลืองมี ขนาดที่ใกล้เคียงกัน RBCs ทั้ง 3 แบบของข้าว japonica มีขนาดที่เล็กกว่า RBCs ของข้าว indica ประมาณ 2-3 เท่า

สำหรับรูปร่างและขนาดที่แตกต่างกันของ RBCs ทั้ง 3 แบบนี้ มีความสัมพันธ์กับความสามารถ

ในการหลั่งสารเมือก (Ropitaux et al., 2020) RBCs แบบ spherical ของถั่วเหลืองมีความหนาของชั้น สารเมือกที่สุดเมื่อเปรียบเทียบกับแบบ rectangular และ elongated ส่วน RBCs แบบ rectangular นั้นมี ความหนาของชั้นสารเมือกที่มากกว่าแบบ elongated อย่างมีนัยสำคัญ (Ropitaux *et al.*, 2020) ลักษณะ ดังกล่าวสอดคล้องกับความต้องการสารเมือกในการ ปกป้องเนื้อเยื่อที่แตกต่างกันในแต่ละบริเวณของ การเจริญ กล่าวคือ ในบริเวณ zone of division มี เนื้อเยื่อเจริญปลายรากที่ต้องการการปกป้องสูง RBCs แบบ spherical ที่พบมากในบริเวณนี้จึงมี ความสามารถในการหลั่งสารเมือกที่มากกว่า RBCs ทั้งสองแบบที่พบในบริเวณ zone of elongation และ zone of differentiation สำหรับองค์ประกอบของสาร เมือกนั้น นอกจากสารกลุ่ม mucopolysaccharide ที่เป็นองค์ประกอบหลักแล้ว ยังพบโปรตีนและสาร สำคัญอีกกว่าหนึ่งร้อยชนิดที่มีบทบาทในการปกป้อง ปลายรากจากจากสภาวะที่ไม่เหมาะสมต่างๆ (Wen et al., 2007; Driouich et al., 2021) จากภาพที่ 2a จะเห็นได้ว่า ข้าว ssp. japonica มี RBCs และ สารเมือกปกคลมบริเวณปลายรากที่ระยะความยาว 3.6 มิลลิเมตรในปริมาณมาก แต่จากการนำเซลล์ แขวนลอย RBCs ที่เตรียมโดยวิธีการชะปลายรากมา ศึกษา พบว่าแต่ละเซลล์มีชั้นของสารเมือกล้อมรอบ ค่อนข้างบาง (Table 1) ซึ่งน้อยกว่าข้าว ssp. *indica* ประมาณ 2.5-8 เท่า (Ninmanont et al., 2023) แสดงให้เห็นถึงความแตกต่างกันขององค์ประกอบ ของสารเมือก มีรายงานว่าปริมาณ xyloglucan (hemicellulose) มีบทบาทในการคงตัวของ สารเมือก (Ropitaux et al., 2019) จึงเป็นไปได้ว่า สารเมือกที่หลั่งโดย RBCs ของข้าว ssp. japonica มีปริมาณ xyloglucan น้อยกว่าข้าว ssp. indica จากการพบบทบาทของ RBCs และสารเมื่อกใน การปกป้องปลายรากในสภาวะเค็มในข้าว ssp. indica (Ninmanont et al., 2023) จึงเป็นที่น่า สนใจว่าลักษณะของ RBCs ที่แตกต่างในข้าว ssp. japonica มีบทบาทเช่นนั้นหรือไม่ซึ่งควรมีการศึกษา เชิงลึกต่อไป

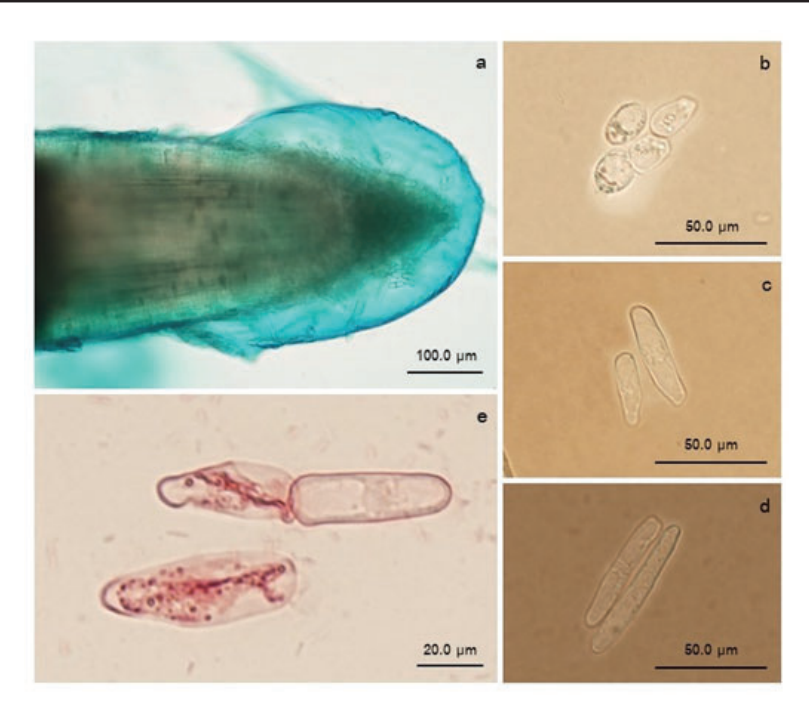


Figure 2 Microscopic characterization of root border cells (RBCs) and mucilage of 4 days old japonica rice seeding. (a) A healthy root tip covered with mucilage stained with alcian blue dye. Note RBCs are located within the mucilage. (b-d) Three types of detached RBCs stained with India ink: (b) spherical, (c) rectangular, and (d) elongated. And (e) viable and dead RBCs stained with phenosafranin.

Table 1 Three types of root border cells of O. sativa ssp. japonica categorized by size. Mean ± SE. Different letters indicate significant mean difference according to Dunnett T3 and DMRT (P < 0.01).

| Characteristics | Types according to cell size | | |
|-------------------------------|------------------------------|----------------------------|---------------------------|
| | Spherical | Rectangular | Elongated |
| Length (µm) | 20.95 ± 2.51 ^b | 50.78 ± 2.51 ^a | 60.98 ± 2.42 ^a |
| Width (µm) | 13.71 ± 0.57 ^a | 10.29 ± 1.22^{ab} | 9.10 ± 0.17^{b} |
| Length: Width Ratio | $1.55 \pm 0.30^{\circ}$ | $5.05 \pm 0.95^{\text{b}}$ | 6.70 ± 0.28^{a} |
| Mucilage layer thickness (µm) | 6.11 ± 1.37^{a} | 4.67 ± 0.39^{a} | 1.08 ± 0.12 ^b |

สรุป การศึกษา RBCs ที่ผลิตจากเนื้อเยื่อเจริญ หมวกรากของข้าว ssp. japonica พบว่าจำนวน ของ RBCs มีความสัมพันธ์กับความยาวรากหรือ อายุของรากด้วย โดยการสร้าง RBCs นั้นมีมาก ในระยะแรกของการเจริญ โดยมีการผลิต RBCs มากถึง 3,813±750 เซลล์ ตั้งแต่เมื่อรากมีความ ยาว 0.5 เซนติเมตร และมีจำนวน RBCs ใน ปริมาณมากในช่วงความยาว 0.3–3.2 เซนติเมตร และมีแนวใน้มลดลงเมื่อรากมีความยาวเพิ่มขึ้น

รูปร่างของ RBCs ที่รากผลิต พบว่ามี 3 รูปแบบ ซึ่ง จำแนกกลุ่มด้วยอัตราส่วนความยาวต่อความกว้าง ได้แก่ เซลล์ทรงกลม เซลล์ทรงสี่เหลี่ยม และเซลล์ ทรงยาว เซลล์แต่ละกลุ่มมีความหนาของสารเมื่อกรอบ เซลล์ที่ต่างกัน เซลล์ทรงกลมและเซลล์ทรงสี่เหลี่ยมซึ่ง มือายุน้อยกว่าจะมีความหนาของสารเมือกมากกว่า เซลล์ทรงยาวที่มีอายุมากกว่า ซึ่งสอดคล้องกับ บทบาทในการปกป้องเนื้อเยื่อเจริญที่อยู่ในบริเวณส่วน ปลายราก โดยแม้ว่าจะมีรูปแบบการสร้างและรูปร่าง ของเซลล์ที่คล้ายกับข้าว ssp. indica ที่มีการรายงาน ก่อนหน้านี้ เป็นที่น่าสนใจว่า RBCs ของข้าว ssp. japonica มีขนาดที่เล็กกว่าและมีความหนาของชั้น สารเมือกน้อยกว่าอย่างชัดเจน ผลการศึกษานี้แสดง ให้เห็นถึงความเชื่อมโยงกันของลักษณะ RBCs กับ ความแตกต่างทางพันธุกรรมที่เกิดจากปัจจัยด้าน ภูมิศาสตร์ที่แตกต่างกันของข้าวทั้งสองกลุ่ม ความ แตกต่างนี้สนับสนุนแนวทางในการใช้ RBCs เป็น เครื่องมือในการศึกษาเชิงเปรียบเทียบ เพื่อให้เข้าใจ ถึงกลไกระดับเซลล์ในการตอบสนองต่อสัญญาณ สิ่งแวดล้อมต่างๆ ได้ต่อไป

เอกสารอ้างอิง

- Cai, M.Z., F.M. Wang, R.F. Li, S.N. Zhang, N. Wang and G.D. Xu. 2011a. Response and tolerance of root border cells to aluminum toxicity in soybean seedlings. Journal of Inorganic Biochemistry 105: 966–971.
- Cai, M.Z., S.N. Zhang, C.H. Xing, F.M. Wang, W. Ning and Z. Lei. 2011b.

 Developmental characteristics and aluminum resistance of root border cells in rice seedlings. Plant Science 180: 702–708.
- Driouich, A., A. Gaudry, B. Pawlak and J. P. Moore. 2021. Root cap-derived cells and mucilage: A protective network at the root tip. Protoplasma 258: 1179–1185.
- Ghanem, E. M., R. M Han, B. Classen, J. Quetin-Leclerq, G. Mahy, C. J. Ruan, P. Qin, F. Pérez-Alfocea and S. Lutts. 2010. Mucilage and polysaccharides in the halophyte plant species *Kosteletzkya virginica*: Localization and composition in relation to salt stress. Journal of plant physiology 167: 382–392.

- Hamamoto, L., M.C. Hawes and T.L. Rost. 2006.

 The production and release of living root cap border cells is a function of root apical meristem type in dicotyledonous angiosperm plants.

 Annals of Botany 97: 917–923.
- Hoagland, D.R. and D.I. Arnon. 1950. The water-culture method for growing plants without soil. California Agricultural Experiment Station 347: 1–32.
- Nagayama, T., A. Nakamura, N. Yamaji, S. Satoh, J. Furukawa and H. Iwai. 2019. Changes in the distribution of pectin in root border cells under aluminum stress. Frontiers in Plant Science 10: 1216.
- Ninmanont, P., C. Wongchai, W. Pfeiffer and A. Chaidee. 2021. Salt stress of two rice varieties: Root border cell response and multi-logistic quantification. Protoplasma 258: 1119–1131.
- Ninmanont, P., C. Wongchai, W. Pfeiffer and A. Chaidee. 2023. Integration of root border cells in salt stress response of Thai jasmine rice. Journal of Soil Science and Plant Nutrition 23: 4426–4437.
- Odell, R.E., M.R. Dumlao, D. Samar and W.K. Silk. 2008. Stage-dependent border cell and carbon flow from roots to rhizosphere. American Journal of Botany 95: 441–446.
- Pan, J., M. Zhu and H. Chen. 2001. Aluminum-induced cell death in root-tip cells of barley. Environmental and Experimental Botany 46: 71–79.

- Qiao, Y. X., Y. Zhang, H. Zhang, Y. Tian and L. Gao. 2013. Developmental characteristics and cinnamic acid resistance of root border cells in cucumber and fig leaf gourd seedlings.

 Journal of Integrative Agriculture 12: 2065–2073.
- Rasband, W. S. 1997–2018. ImageJ. U.S. NIH, Bethesda, Maryland. (Online):

 Available Source: https://imagej.

 nih.gov/ij/
- Ropitaux, M., S. Bernard, M. L. Follet-Gueye, M. Vicré, I. Boulogne and A. Driouich. 2019. Xyloglucan and cellulose form molecular cross-bridges connecting root border cells in pea (*Pisum sativum*). Plant Physiology and Biochemistry 139: 191–196.
- Ropitaux, M., S. Bernard, D. Schapman, M. Follet-Gueye, M. Vicre, I. Boulogne and A. Driouich. 2020. Root border cells and mucilage secretions of soybean, *Glycine max* (Merr) L.: characterization and role in interactions with the oomycete *Phytophthora parasitica*. Cells 9: 2215.
- Sweeney, M. and S. McCouch. 2007. The complex history of the domestication of rice. Annals of Botany 100: 951–957.
- Wen, F., H. D. Van-Etten, G. Tsaprailis and M. C. Hawes. 2007. Extracellular proteins in pea root tip and border cell exudates. Plant Physiology 143: 773–

783.

- Widholm, J. M. 1972. The use of fluorescein diacetate and phenosafranine for determining viability of cultured plant cells. Stain Technology 4: 189–194.
- Wuyts, N., Z. T. Z. Maung, R. Swennen and D. D. Waele. 2006. Banana rhizodeposition: Characterization of root border cell production and effects on chemotaxis and motility of the parasitic nematode *Radopholus similis*. Plant Soil 283: 217–228.
- Yan, Z., C. Bo, G. Shibin and R. Tingzhao. 2014.

 Biological characters of root border

 cells development in maize

 (Zea mays). Biotechnology 13: 89-98.
- Yu, M., Y.M. Feng and H.E. Goldbach. 2006.

 Mist culture for mass harvesting of root border cells: aluminum effects.

 Plant Nutrient Soil Science 169: 670–674.
- Zhao, X., I.J. Misaghi and M.C. Hawes. 2000. Stimulation of border cell production in response to increased carbon dioxide levels. Plant Physiology 122: 181–188.